



西北工业大学  
NORTHWESTERN POLYTECHNICAL UNIVERSITY



# 自动控制原理

(第 14 讲)

## § 4 根轨迹法

§ 4. 1 根轨迹法的基本概念

§ 4. 2 绘制根轨迹的基本法则

§ 4. 3 广义根轨迹

§ 4. 4 利用根轨迹分析系统性能



## 课程回顾 (1)

- **根轨迹:** 系统中某一参数由  $0 \rightarrow \infty$  变化时, 闭环极点在  $s$  平面相应变化所描绘出来的轨迹
- **闭环极点** 与开环零点、开环极点及  $K^*$  均有关
- **闭环零点** = 前向通道零点 + 反馈通道极点
- **根轨迹方程** 
$$\begin{cases} \text{模值条件: } |G(s)H(s)| = \frac{K^* |s-z_1| \cdots |s-z_m|}{|s-p_1| \cdots |s-p_n|} = 1 \\ \text{相角条件: } \angle G(s)H(s) = \sum_{i=1}^m \angle s-z_i - \sum_{j=1}^n \angle s-p_j = (2k+1)\pi \end{cases}$$
- **$K$ 与 $K^*$ 的关系** 
$$K = \frac{K^* \prod_{i=1}^m |-z_i|}{\prod_{j=1}^n |-p_j|}$$



## 课程回顾 (2)

### 法则1 根轨迹的起点和终点：

根轨迹起始于开环极点，终止于开环零点；当开环极点个数 $n$ 大于开环零点个数 $m$ 时，有  $n-m$  条根轨迹分支趋向于无穷远处。

### 法则2 根轨迹的分支数，对称性和连续性：

根轨迹的分支数 = 系统阶数；根轨迹连续且对称于实轴。

### 法则3 实轴上的根轨迹：

从实轴上最右端的开环零点或极点向左算起，奇数开环零、极点到偶数开环零、极点之间的区域必是根轨迹。

### 法则4 根之和：

$n-m \geq 2$ 时，闭环根之和为常数。

定理：若系统有2个开环极点，1个开环零点，且在复平面存在根轨迹，则复平面的根轨迹一定是以该零点为圆心的圆弧。



## § 4.2 绘制根轨迹的基本法则 (7)

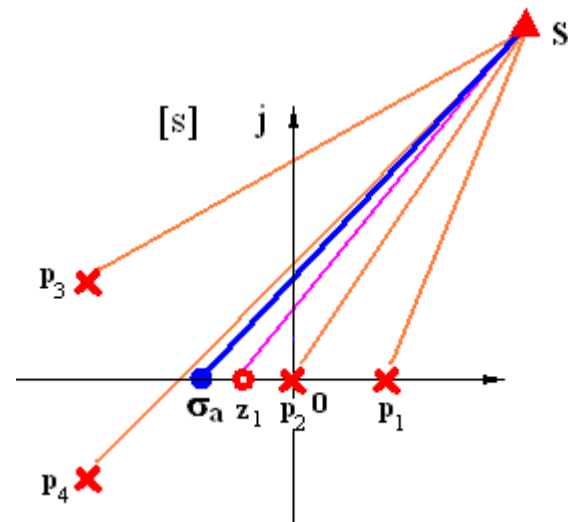
法则5 渐近线: 
$$\left\{ \begin{aligned} \sigma_a &= \frac{\sum_{i=1}^n p_i - \sum_{j=1}^m z_j}{n-m} \\ \varphi_a &= \frac{(2k+1)\pi}{n-m} \end{aligned} \right.$$

$n > m$ 时,  $n-m$ 条根轨迹趋于无穷远处的规律。

证明: (1) 
$$\frac{\prod_{j=1}^n (s - p_j)}{\prod_{i=1}^m (s - z_i)} = -K^* = (s - \sigma_a)^{n-m} \quad \text{根轨迹方程}$$

$$= s^{n-m} - \sigma_a(n-m)s^{n-m-1} + \dots$$

$$\frac{\prod_{j=1}^n (s - p_j)}{\prod_{i=1}^m (s - z_i)} = \frac{s^n - (\sum_{j=1}^n p_j)s^{n-1} + \dots}{s^m - (\sum_{i=1}^m z_i)s^{m-1} + \dots} = s^{n-m} - (\sum_{j=1}^n p_j - \sum_{i=1}^m z_i)s^{n-m-1} + \dots$$





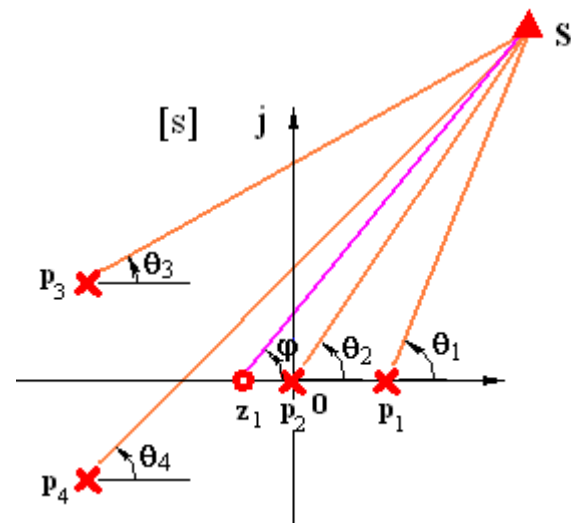
## § 4.2 绘制根轨迹的基本法则 (8)

法则5 渐近线: 
$$\left\{ \begin{aligned} \sigma_a &= \frac{\sum_{i=1}^n p_i - \sum_{j=1}^m z_j}{n-m} \\ \varphi_a &= \frac{(2k+1)\pi}{n-m} \end{aligned} \right.$$

$n > m$ 时,  $n-m$ 条根轨迹趋于无穷远处的规律。

证明: (2) 由相角条件

$$\begin{aligned} \sum_{i=1}^m \angle(s - z_i) - \sum_{j=1}^n \angle(s - p_j) &= -(2k+1)\pi \\ &= m\varphi_a - n\varphi_a = (m-n)\varphi_a \end{aligned}$$



$$\varphi_a = \frac{(2k+1)\pi}{n-m}$$



## § 4.2 绘制根轨迹的基本法则 (9)

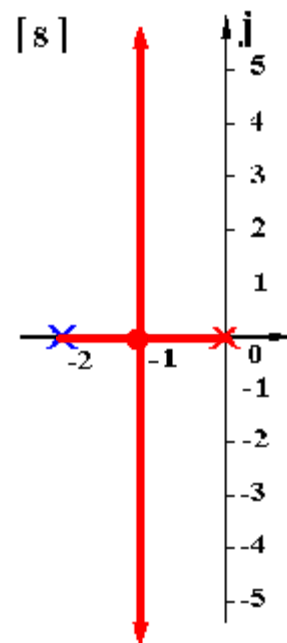
法则5 渐近线: 
$$\left\{ \begin{aligned} \sigma_a &= \frac{\sum_{i=1}^n p_i - \sum_{j=1}^m z_j}{n-m} \\ \varphi_a &= \frac{(2k+1)\pi}{n-m} \end{aligned} \right.$$

$n > m$ 时,  $n-m$ 条根轨迹趋于无穷远处的规律。

例1 系统开环传递函数为  $G(s) = \frac{K^*}{s(s+2)}$ , 试绘制根轨迹。

解. ① 实轴上的根轨迹:  $[-2, 0]$

② 渐近线: 
$$\left\{ \begin{aligned} \sigma_a &= \frac{\sum_{i=1}^n p_i - \sum_{j=1}^m z_j}{n-m} = \frac{-2+0}{2-0} = -1 \\ \varphi_a &= \frac{(2k+1)\pi}{n-m} = \pm 90^\circ \end{aligned} \right.$$



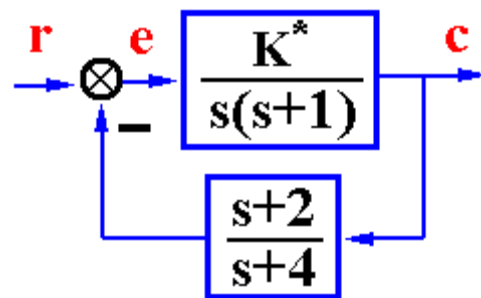


## § 4.2 绘制根轨迹的基本法则 (10)

例2 系统结构图如图所示。

(1) 绘制当  $K^* = 0 \rightarrow \infty$  时系统的根轨迹；

(2) 当  $\text{Re}[\lambda_1] = -1$  时,  $\lambda_3 = ?$



解. (1) 
$$G(s) = \frac{K^*(s+2)}{s(s+1)(s+4)} \quad \begin{cases} K = K^*/2 \\ \nu = 1 \end{cases}$$

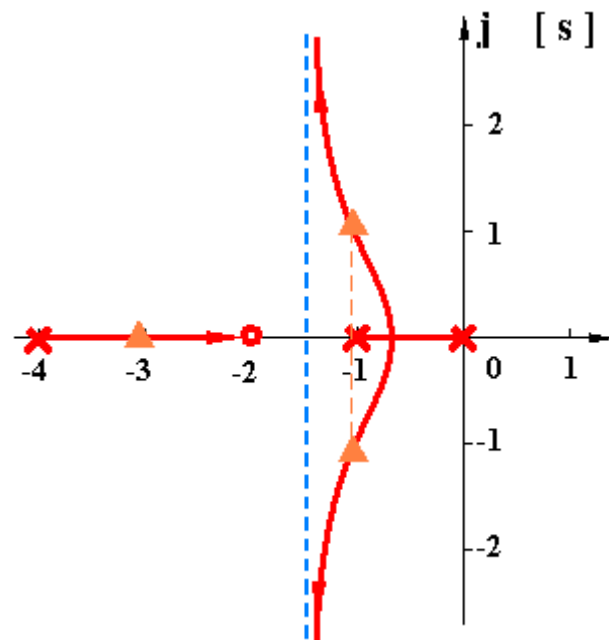
① 实轴上的根轨迹:  $[-4, -2]$ ,  $[-1, 0]$

② 渐近线: 
$$\begin{cases} \sigma_a = \frac{0-1-4+2}{3-1} = -\frac{3}{2} \\ \varphi_a = \frac{(2k+1)\pi}{3-1} = \pm 90^\circ \end{cases}$$

用根之和法则分析绘制根轨迹:

(2)  $a_{n-1} = 0 - 1 - 4 = -5 = \lambda_1 + \lambda_2 + \lambda_3 = 2(-1) + \lambda_3$

$\lambda_3 = -5 + 2 = -3$







## § 4.2 绘制根轨迹的基本法则 (11)

法则6 分离点  $d$ :  $\sum_{i=1}^n \frac{1}{d - p_i} = \sum_{j=1}^m \frac{1}{d - z_j}$  (对应重根)

说明:  $D(s) = s(s+1)(s+4) + K^*(s+2) = (s - \lambda_3)(s - d)^2 = 0$

$$\frac{dD(s)}{ds} = \frac{d}{ds} [s(s+1)(s+4)] + K^* \frac{d}{ds} (s+2) \stackrel{s=d}{=} (s-d)^2 + 2(s-d)(s-\lambda_3) = 0$$

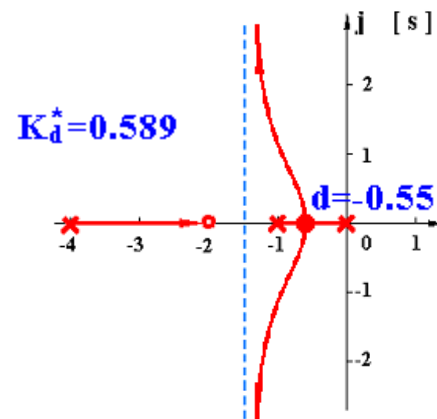
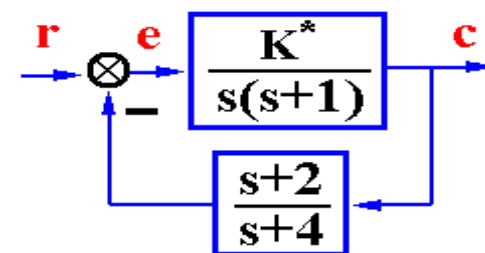
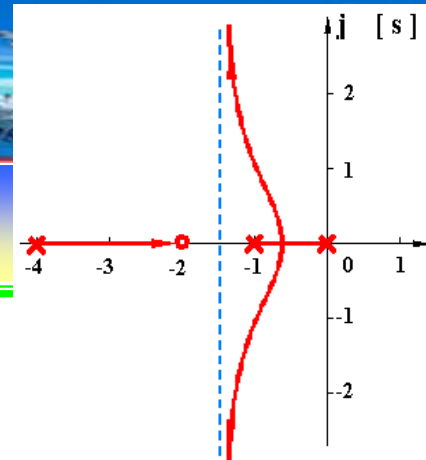
$$\frac{\frac{d}{ds} [s(s+1)(s+4)]}{s(s+1)(s+4)} \stackrel{s=d}{=} \frac{-K^* \frac{d}{ds} (s+2)}{-K^* (s+2)} = \frac{\frac{d}{ds} (s+2)}{s+2}$$

$$\frac{d}{ds} \ln [s(s+1)(s+4)] \stackrel{s=d}{=} \frac{d}{ds} \ln (s+2)$$

$$\frac{d}{ds} [\ln s + \ln(s+1) + \ln(s+4)] \stackrel{s=d}{=} \frac{d}{ds} \ln (s+2)$$

$$\frac{1}{d} + \frac{1}{d+1} + \frac{1}{d+4} = \frac{1}{d+2}$$

(无零点时右端为0)







## § 4.2 绘制根轨迹的基本法则 (12)

例3 单位反馈系统的开环传递函数为  $G(s) = \frac{K^*}{s(s+1)(s+2)}$ ，绘制根轨迹。

解.  $G(s) = \frac{K^*}{s(s+1)(s+2)} \quad \begin{cases} K = K^*/2 \\ v = 1 \end{cases} \quad [s]$

① 实轴上的根轨迹:  $(-\infty, -2]$ ,  $[-1, 0]$

② 渐近线:  $\begin{cases} \sigma_a = \frac{0-1-2}{3} = -1 \\ \varphi_a = \frac{(2k+1)\pi}{3} = \pm 60^\circ, 180^\circ \end{cases}$

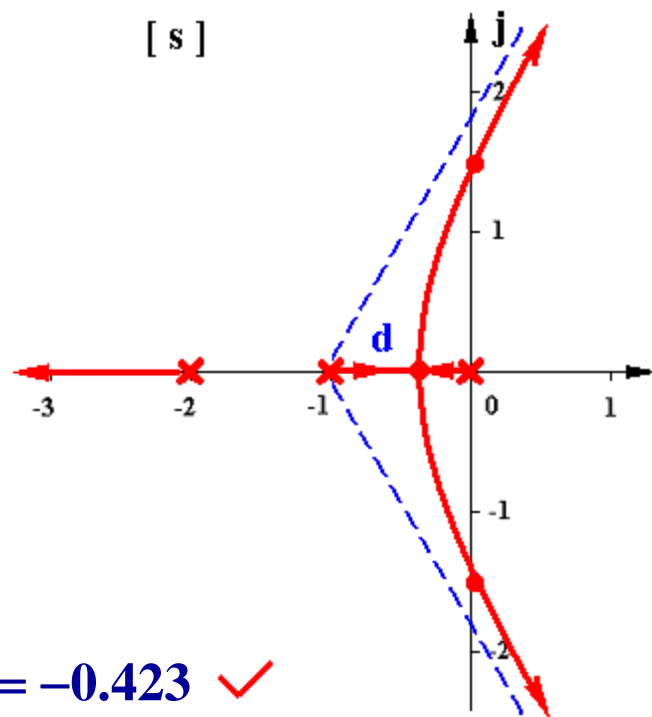
③ 分离点:  $\frac{1}{d} + \frac{1}{d+1} + \frac{1}{d+2} = 0$

整理得:  $3d^2 + 6d + 2 = 0$

解根:  $\begin{cases} d_1 = -0.423 \quad \checkmark \\ d_2 = -1.577 \quad \times \end{cases}$

④ 与虚轴交点: ?

$K_d^* = |d||d+1||d+2|^{d=-0.423} = 0.385$





## § 4.2 绘制根轨迹的基本法则 (13)

法则7 与虚轴交点：  $\begin{cases} 1) \text{ 系统临界稳定点} \\ 2) s = j\omega \text{ 是根的点} \end{cases}$

[接例3]  $G(s) = \frac{K^*}{s(s+1)(s+2)}$

$$D(s) = s(s+1)(s+2) + K^* = s^3 + 3s^2 + 2s + K^* = 0$$

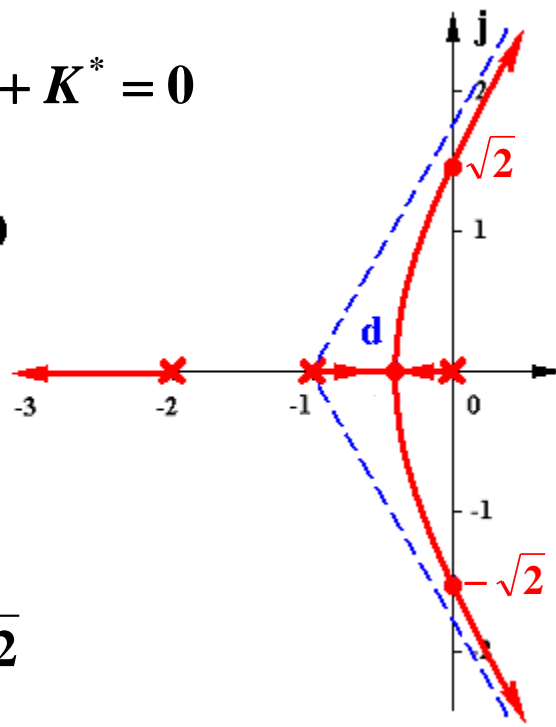
解法I : Routh :

$s^3$	1	2	
$s^2$	3	$K^*$	$\Rightarrow \text{令 } K^*=6 \begin{cases} 3s^2+6=0 \\ s=\pm j\sqrt{2} \end{cases}$
$s^1$	$\frac{6-K^*}{3}$		$\Rightarrow K^*<6$
$s^0$	$K^*$		$\Rightarrow K^*>0$

解法II :  $D(j\omega) = -j\omega^3 - 3\omega^2 + j2\omega + K^* = 0$

$$\begin{cases} \text{Re}[D(j\omega)] = -3\omega^2 + K^* = 0 \\ \text{Im}[D(j\omega)] = -\omega^3 + 2\omega = 0 \end{cases} \quad \begin{cases} \omega = \pm\sqrt{2} \\ K^* = 6 \end{cases}$$

稳定范围：  $0 < K < 3$

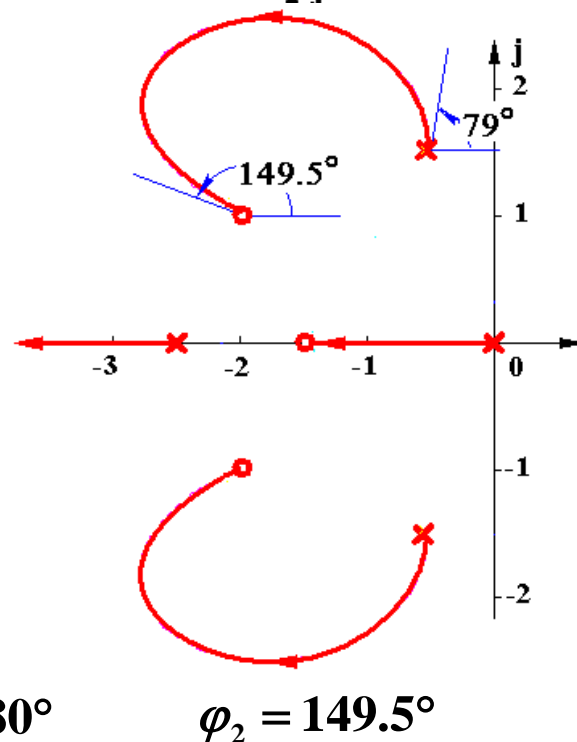
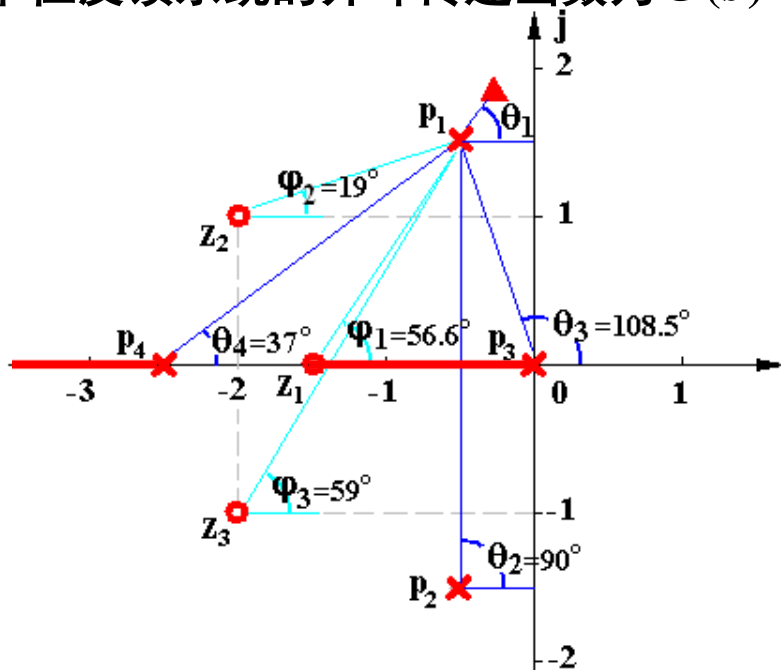




## § 4.2 绘制根轨迹的基本法则 (14)

法则8 出射角/入射角  $\sum_{j=1}^m \angle(s-z_j) - \sum_{i=1}^n \angle(s-p_i) = (2k+1)\pi$   
(起始角/终止角)

例4 单位反馈系统的开环传递函数为  $G(s) = \frac{K^*(s+1.5)(s+2 \pm j)}{s(s+2.5)(s+0.5 \pm j1.5)}$ , 绘制根轨迹。



$$56.5^\circ + 19^\circ + 59^\circ - [\theta_1 + 90^\circ + 108.5^\circ + 37^\circ] = -180^\circ$$

$$[117^\circ + \varphi_2 + 90^\circ] - [199^\circ + 121^\circ + 153^\circ + 63.5^\circ] = -180^\circ$$

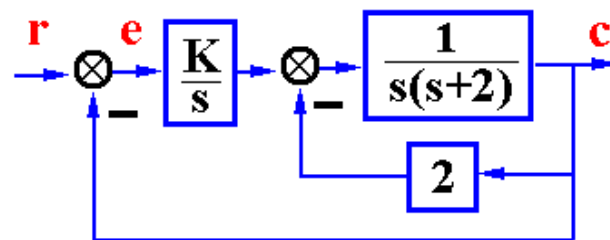
$$\varphi_2 = 149.5^\circ$$



## § 4.2 绘制根轨迹的基本法则 (15)

例5 已知系统结构图，绘制根轨迹。

解. 
$$G(s) = \frac{K}{s} \frac{1}{1 + \frac{2}{s(s+2)}} = \frac{K}{s[s^2 + 2s + 2]} \quad \begin{cases} K_k = K/2 \\ v = 1 \end{cases}$$



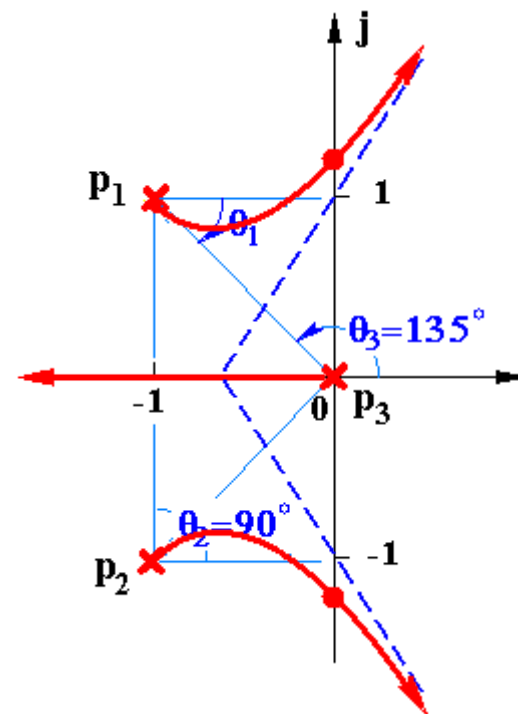
① 实轴上的根轨迹  $(-\infty, 0]$

② 渐近线: 
$$\begin{cases} \sigma_a = \frac{0-1-1}{3} = -\frac{2}{3} \\ \varphi_a = \frac{(2k+1)\pi}{3} = \pm 60^\circ, 180^\circ \end{cases}$$

③ 出射角:  $0 - [\theta_1 + 90^\circ + 135^\circ] = -180^\circ \Rightarrow \theta_1 = -45^\circ$

④ 与虚轴交点:  $D(s) = s^3 + 2s^2 + 2s + K = 0$

$$\begin{cases} \operatorname{Re}[D(j\omega)] = -2\omega^2 + K = 0 \\ \operatorname{Im}[D(j\omega)] = -\omega^3 + 2\omega = 0 \end{cases} \quad \begin{cases} \omega = \pm\sqrt{2} \\ K = 4 \end{cases}$$





## § 4.2 绘制根轨迹的基本法则 (16)

例6 单位反馈系统的开环传递函数为  $G(s) = \frac{K^*}{s(s+20)(s^2+4s+20)}$ ，绘制根轨迹。

解.  $G(s) = \frac{K^*}{s(s+20)(s+2 \pm j4)}$   $\begin{cases} K = K^*/400 \\ \nu = 1 \end{cases}$

① 实轴上的根轨迹:  $[-20, 0]$

② 渐近线:  $\sigma_a = \frac{0-20-2-2}{4} = -6$   $\varphi_a = \frac{(2k+1)\pi}{4} = \pm 45^\circ, \pm 135^\circ$

③ 出射角:  $-\left[\theta_1 + 90^\circ + 116.5^\circ + 12.5^\circ\right] = -180^\circ \Rightarrow \theta_1 = -39^\circ$

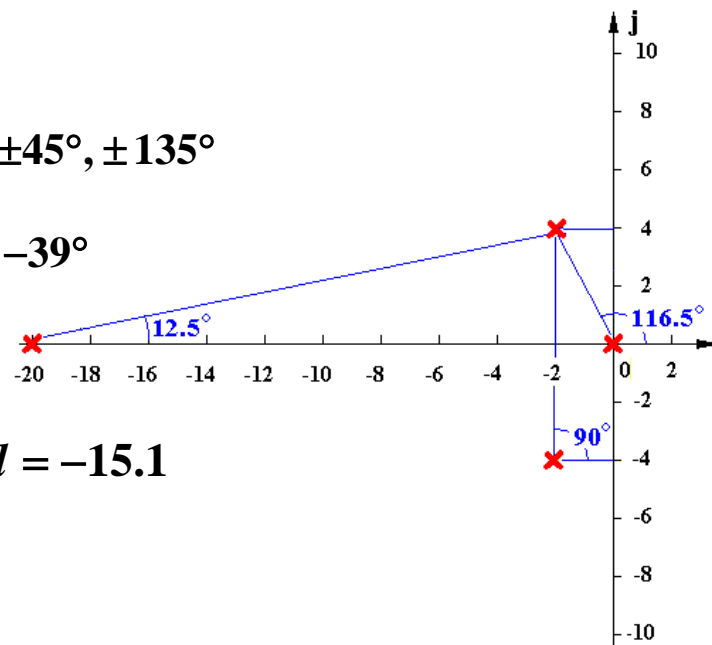
③ 分离点:  $\frac{1}{d} + \frac{1}{d+20} + \frac{1}{d+2+j4} + \frac{1}{d+2-j4} = 0$

$$\frac{1}{d} + \frac{1}{d+20} + \frac{2(d+2)}{(d+2)^2 + 4^2} = 0 \quad \text{试根得: } d = -15.1$$

$$K_d^* = |d||d+20|(d+2)^2 + 4^2 \Big|^{d=-15.1} = 13881$$

④ 虚轴交点:  $D(s) = s^4 + 24s^3 + 100s^2 + 400s + K^* = 0$

$$\begin{cases} \operatorname{Re}[D(j\omega)] = \omega^4 - 100\omega^2 + K^* = 0 \\ \operatorname{Im}[D(j\omega)] = -24\omega^3 + 400\omega = 0 \end{cases} \quad \begin{cases} \omega = \sqrt{400/24} = 4.1 \\ K^* = 1389 \end{cases}$$





## § 4.2 绘制根轨迹的基本法则 (17)

例6  $G(s) = \frac{K^*}{s(s+20)(s+2 \pm j4)}$

$$\begin{cases} K = K^*/400 \\ \nu = 1 \end{cases}$$

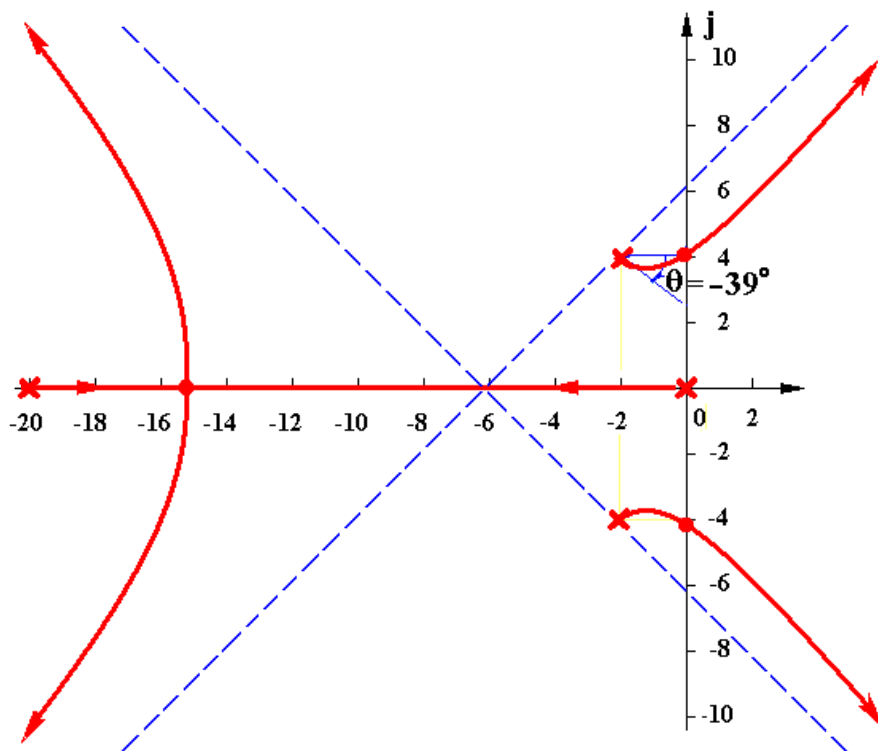
① 实轴上的根轨迹:  $[-20, 0]$

② 渐近线:  $\begin{cases} \sigma_a = -6 \\ \varphi_a = \pm 45^\circ, \pm 135^\circ \end{cases}$

③ 出射角:  $\theta = -39^\circ$

③ 分离点:  $d = -15.1$   
 $K_d^* = 13881$

④ 虚轴交点:  $\begin{cases} \omega = 4.1 \\ K^* = 1389 \end{cases}$



稳定的开环增益范围:  $0 < K < 3.4725$

基于根轨迹的系统设计工具—RLTool





## § 4.2 绘制根轨迹的基本法则 (18)

例6 已知  $G(s) = \frac{K^*(s+1)}{s(s-1)(s^2+4s+16)}$ , 绘根轨迹; 求稳定的K范围。

解.  $G(s) = \frac{K^*(s+1)}{s(s-1)(s+2 \pm j2\sqrt{3})} \quad \begin{cases} K = K^*/16 \\ v = 1 \end{cases}$

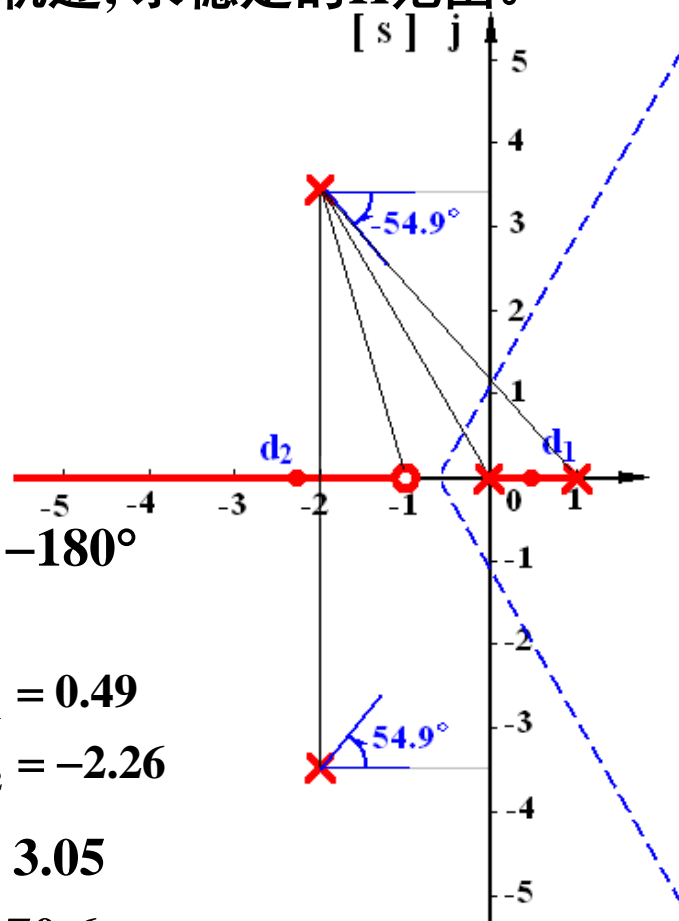
① 实轴上的根轨迹:  $(-\infty, -1], [0, 1]$

② 渐近线:  $\begin{cases} \sigma_a = (1-4+1)/3 = -2/3 \\ \varphi_a = (2k+1)\pi/3 = \pm 60^\circ, 180^\circ \end{cases}$

③ 出射角:  $106.1^\circ - [\theta_1 + 90^\circ + 120^\circ + 130.9^\circ] = -180^\circ$   
 $\Rightarrow \theta_1 = -54.9^\circ$

④ 分离点:  $\frac{1}{d} + \frac{1}{d-1} + \frac{2(d+2)}{d^2+4d+16} = \frac{1}{d+1} \quad \begin{cases} d_1 = 0.49 \\ d_2 = -2.26 \end{cases}$

$$K_{d_{1,2}}^* = \frac{|d||d-1||d^2+4d+16|}{|d+1|} \quad \begin{matrix} d=0.49 \\ d=-2.26 \end{matrix} \begin{cases} 3.05 \\ 70.6 \end{cases}$$







## § 4.2 绘制根轨迹的基本法则 (19)

例6  $G(s) = \frac{K^*(s+1)}{s(s-1)(s^2+4s+16)} \quad \begin{cases} K = K^*/16 \\ v = 1 \end{cases}$

⑤ 虚轴交点:

$$D(s) = s^4 + 3s^3 + 12s^2 + (K^* - 16)s + K^* = 0$$

$$\begin{cases} \operatorname{Re}[D(j\omega)] = \omega^4 - 12\omega^2 + K^* = 0 \\ \operatorname{Im}[D(j\omega)] = -3\omega^3 + (K^* - 16)\omega = 0 \end{cases}$$

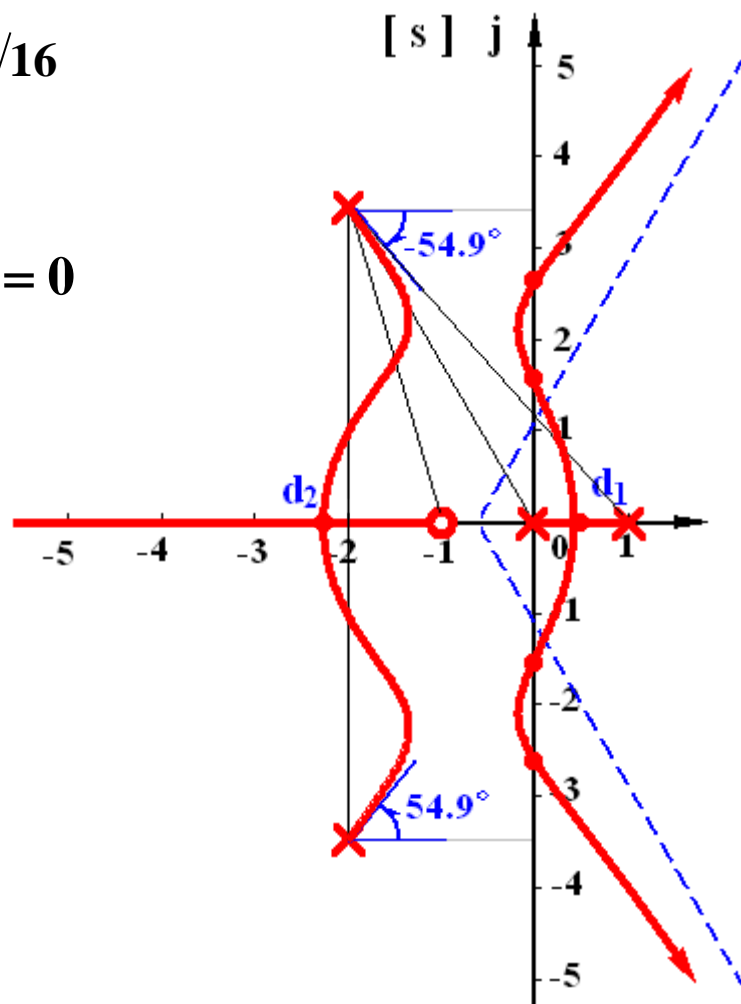
$$K^* = 3\omega^2 + 16$$

$$\omega^4 - 9\omega^2 + 16 = 0$$

$$\begin{cases} \omega_1 = 1.56 & \begin{cases} K_1^* = 19.7 \\ K_2^* = 35.7 \end{cases} \\ \omega_2 = 2.56 \end{cases}$$

稳定的  $K^*$  范围:  $19.7 < K^* < 35.7$

稳定的  $K$  范围:  $1.234 < K = \frac{K^*}{16} < 2.23$



零点靠近极点时的情况(例3)



## 绘制根轨迹法则小结

法则 1 根轨迹的起点和终点

法则 2 根轨迹的分支数，对称性和连续性

法则 3 实轴上的根轨迹

法则 4 根之和 
$$\sum_{i=1}^n \lambda_i = C \quad (n-m \geq 2)$$

法则 5 渐近线 
$$\sigma_a = \frac{\sum_{i=1}^n p_i - \sum_{j=1}^m z_j}{n-m} \quad \varphi_a = \frac{(2k+1)\pi}{n-m}$$

法则 6 分离点 
$$\sum_{i=1}^n \frac{1}{d-p_i} = \sum_{j=1}^m \frac{1}{d-z_j}$$

法则 7 与虚轴交点 
$$\operatorname{Re}[D(j\omega)] = \operatorname{Im}[D(j\omega)] = 0$$

法则 8 出射角/入射角 
$$\sum_{j=1}^m \angle(s-z_j) - \sum_{i=1}^n \angle(s-p_i) = (2k+1)\pi$$